

## PC合成桁のクリープ解析

九州大学 正員 山崎徳也

〃 正員 旁坂 照

〃 学生員〇羽根悟朗

## 1. 緒言

プレキャストPC桁と現場打ちスラブを組み合せたPC合成桁は、コンクリートの引張応力の減少とそれに伴う断面の有効利用により、極めて経済性の高い構造型式であることは周知のとおりである。PC合成桁の応力状態は、プレキャストPC桁のプレストレス、自重および載荷荷重などによるコンクリートのクリープと乾燥収縮の影響を複雑に受けて変化するため、その厳密な解析は極めて困難である。そこで本論文においては、乾燥収縮の影響をひとまず無視し、かつコンクリートの弾性係数を時間的に変化しない定数として取り扱うことにより理論式を簡略化し、先に発表した文献(1)の結果と合せてプレストレス導入後のPC合成桁の全クリープ挙動を明らかにせんとするものである。

## 2. コンクリートの応力-ひずみ関係式

いま、コンクリートの材令がt<sub>1</sub>のプレキャストPC桁にプレストレスを導入し、さらにつつてt<sub>2</sub>においてコンクリートスラブを現場打ちするもととする。t<sub>1</sub>とt<sub>2</sub>におけるPC桁の応力とひずみをG<sub>p</sub>(t), E<sub>p</sub>(t)、t<sub>2</sub>とt<sub>1</sub>におけるそれらをG<sub>p</sub>(t), E<sub>p</sub>(t)とし、また現場打ちコンクリートの応力とひずみをG<sub>c</sub>(t), E<sub>c</sub>(t)とすれば文献(1)によれば次の関係式が成立する。

$$t_1 \leq t \leq t_2 : \quad \bar{E}_p(t) = \frac{\bar{G}_p(t)}{E_p} - \int_{t_1}^t \bar{G}_p(\tau) \frac{\partial}{\partial \tau} C_p(t, \tau) d\tau \quad (1)$$

$$t_2 \leq t : \quad \bar{E}_p(t) = \frac{\bar{G}_p(t)}{E_p} - \int_{t_2}^t \bar{G}_p(\tau) \frac{\partial}{\partial \tau} C_p(t, \tau) d\tau - \int_{t_1}^{t_2} \bar{G}_p(\tau) \frac{\partial}{\partial \tau} C_p(t, \tau) d\tau \quad (2)_a$$

$$\bar{E}_c(t) = \frac{\bar{G}_c(t)}{E_c} - \int_{t_1}^t \bar{G}_c(\tau) \frac{\partial}{\partial \tau} C_c(t, \tau) d\tau \quad (2)_b$$

ここで G<sub>p</sub>, E<sub>p</sub>: それぞれPC桁および現場打ちコンクリートの弾性係数

C<sub>p</sub>(t, τ), C<sub>c</sub>(t, τ): それぞれPC桁および現場打ちコンクリートのクリープ関数(時刻tから時刻τまでに生じるクリープひずみ)

て次式の内容をもつ。

$$C_p(t, \tau) = \varphi(\tau) [1 - e^{-\lambda(t-\tau)}], \quad \varphi(\tau) = A_1/\tau + C_1 \quad (3)_a$$

$$C_c(t, \tau) = \psi(\tau) [1 - e^{-\lambda(t-\tau)}], \quad \psi(\tau) = A_2/\tau + C_2 \quad (3)_b$$

ただし 且 A<sub>1</sub>, C<sub>1</sub>, 且 A<sub>2</sub>, C<sub>2</sub> は実験により定められる定数

式(2)<sub>a</sub>, (2)<sub>b</sub>をそれぞれG<sub>p</sub>(t), G<sub>c</sub>(t)について解けば次の応力-ひずみ関係式が与えられる。

$$\bar{G}_p(t) = \bar{G}_p(t_2) + \int_{t_2}^{t-\lambda(t)} \left[ \bar{G}_p(\tau) + \int_{t_2}^{\tau} \bar{C}_p E_p \{ \dot{E}_p(\tau) + \lambda \dot{E}_p(\tau) \} d\tau \right] d\tau \quad (4)_a$$

$$\bar{G}_c(t) = \bar{G}_c(t_2) + \int_{t_2}^{t-\lambda(t)} \left[ \bar{G}_c(\tau) + \int_{t_2}^{\tau} \bar{C}_c E_c \{ \dot{E}_c(\tau) + \lambda \dot{E}_c(\tau) \} d\tau \right] d\tau \quad (4)_b$$

$$\text{ここで } \dot{E}_p(\tau) = \int_{t_2}^{\tau} \dot{\varphi} [1 + E_p \varphi(\tau)] d\tau \quad \dot{E}_c(\tau) = \int_{t_2}^{\tau} \dot{\psi} [1 + E_c \psi(\tau)] d\tau$$

### 3. 変形の微分方程式の誘導

図-1のごとくPC合成桁の左端に原点をとり、現場打ちスラブの断面の圓心軸に沿ってX軸、垂直下方にZ軸をそれぞれ設ける。PC鋼材の断面積を $A_p$ とし、軸方向圧縮力はPC桁の圓心からの下方距離 $a$ の位置に作用するものと仮定する。現場打ちコンクリートの圓心ととの距離を $a$ とすれば、先ずて $t=t_0$ の任意時刻における鋼材の引張力 $\bar{P}(t)$ が文献(2)より次式で与えられる。

$$\bar{P}(t) = \bar{P}(t_0) \left\{ 1 - J \frac{\mu}{1+R} E_p C_l \int_{t_0}^t \frac{C_p}{C_p + R} dt \right\}$$

ここで  $J = \frac{P(t)(1+R)}{P(t)(1+R) + R}$ ,  $\mu = f(1 + J E_p C_l)$ ,  $\bar{m} = J \bar{P} E_p A_p$ ,  $P = \frac{A_p}{f}$   
 $n = \frac{E_p}{f}$ ,  $R = (\frac{P}{f})^2$ ,  $\bar{R} = \frac{\bar{P}}{f}$

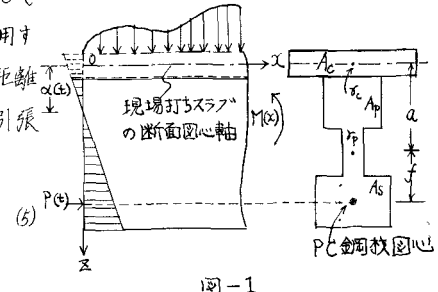


図-1

夫だし  $A_p$ : PC桁のコンクリートの断面積  $E_p$ : 鋼材の弾性係数  $E_p$ , PC桁のコンクリートの弾性係数  $E_p$ ; PC桁の圓心軸に関するPC桁の断面二次モーメント

次に  $t=t_0$ における鋼線のひずみを $\varepsilon_p(t)$ としかば鋼材とコンクリートが一体となって変形するものとすれば、式(2)のひずみとの間に次の関係が成り立つ。

$$\Delta + \varepsilon_p(t) = \varepsilon_c(t) \quad (6)$$

PC合成桁と同一断面をもち、軸方向力の作用しない仮想断面の中立軸ととの距離を $\omega(t)$ とし、またPC合成桁のZ方向のたわみを $w(t)$ とすれば、PC桁および現場打ちスラブの任意 $t$ のひずみはそれぞれ次式で表わされる。

$$\varepsilon_p(t) = \varepsilon_{co}(t) - \frac{3}{f} \omega(t) + \bar{\varepsilon}_{po}(t) - \frac{3-a}{f} \bar{\omega}(t) \quad (7)_a$$

$$\varepsilon_c(t) = \varepsilon_{co}(t) - \frac{3}{f} \omega(t) \quad (7)_b$$

$$\text{ただし } \varepsilon_{co}(t) = \alpha(t) \left\{ \frac{\partial^2 \omega(t)}{\partial x^2} - \frac{\partial^2 \bar{\omega}(t)}{\partial x^2} \right\}, \quad \omega(t) = f \left\{ \frac{\partial^2 \omega(t)}{\partial x^2} - \frac{\partial^2 \bar{\omega}(t)}{\partial x^2} \right\} \quad (8)_a, (8)_b$$

$\bar{\varepsilon}_{po}(t)$ : スラブ打設前のPC桁の軸方向ひずみ,  $\bar{\omega}(t) = f \frac{\partial^2 \bar{\omega}(t)}{\partial x^2}$

したがって、 $t=t_0$ における鋼材の引張力 $P(t)$ は式(6)と式(7)aを用いて次式のごとく書き表わされる。

$$P(t) = E_p A_p \varepsilon_p(t) = \bar{P}(t_0) + E_p A_p \{ \varepsilon_{co}(t) - (1+a) \omega(t) \} \quad (9)$$

さて、現場打ちスラブの断面圓心軸に関するモーメントおよび軸方向力の釣合条件より次式が成り立つ。

$$M(x) - P(t) Z = \int_{A_p} G_p(t) Z dA_p + \int_{A_c} G_c(t) Z dA_c \quad (10)_a$$

$$-P(t) = \int_{A_p} G_p(t) dA_p + \int_{A_c} G_c(t) dA_c \quad (10)_b$$

式(10)a, (10)bの左边に式(9)、右边に式(4)a, (4)bを代入して整理すれば $\omega(t)$ ,  $\varepsilon_{co}(t)$ に関する次の連立微分方程式が導かれる。

$$\begin{aligned} M(x) - \bar{P}(t) Z &= E_p \left\{ G_p \varepsilon_{co}(t) - \frac{3}{f} \omega(t) + G_p \bar{\varepsilon}_{po}(t) - \frac{1-p}{f} \bar{\omega}(t) - (1+a) \int_{t_0}^t \bar{P}(t') \frac{3}{f} C_p(t', t) d t' \right\} \\ &+ \int_{t_0}^t \bar{P}(t') \frac{3}{f} C_p(t', t) \left[ G_p \{ \varepsilon_{co}(t') - (1+a) \omega(t') \} E_p \varepsilon_{co}(t') - \frac{3}{f} \{ \omega(t') - (1+a) \bar{\omega}(t') \} E_p \omega(t') - C_p \bar{P}(t') E_p \bar{\varepsilon}_{po}(t') + \frac{1-p}{f} \bar{P}(t') E_p \bar{\omega}(t') \right] d t' \\ &- (1+a) \int_{t_0}^t \bar{P}(t') \frac{3}{f} C_p(t', t) \left[ \varepsilon_{co}(t') + \bar{\varepsilon}_{po}(t') \right] d t' + \int_{t_0}^t \bar{P}(t') \frac{3}{f} C_p(t', t) \left[ G_p \{ \varepsilon_{co}(t') + \bar{\varepsilon}_{po}(t') \} - \frac{3}{f} \{ \omega(t') + \bar{\omega}(t') \} \right] d t' \\ &- \frac{E_p}{f} \bar{\omega}(t) - \frac{3}{f} \{ \omega(t) - (1+a) \bar{\omega}(t) \} E_p \omega(t) - E_p \int_{t_0}^t \bar{P}(t') \frac{3}{f} C_p(t', t) \left[ \varepsilon_{co}(t') + \bar{\varepsilon}_{po}(t') \right] d t' + j \bar{A}(x) \} d t' \end{aligned} \quad (11)_a$$

$$\begin{aligned}
-\bar{P}(t) - E_A \{ \dot{\varepsilon}_{co}(t) - (1+a/f) \omega(t) \} &= E_p \{ A_p \dot{\varepsilon}_{co}(t) - \frac{G_p}{f} \omega(t) + A_p \bar{\varepsilon}_p(t) \} - \int_{t_0}^t \frac{G_p - A_p}{f} \bar{\omega}(t_s) C_p(t_s, t) dt \\
&+ E_p \int_{t_0}^t [A_p \{ \dot{\varepsilon}_{co}(t_s) - f \omega(t_s) \} E_p \dot{\varepsilon}_{co}(t_s) - \frac{G_p}{f} \{ \omega(t_s) - f \bar{\omega}(t_s) \} E_p \bar{\varepsilon}_p(t_s) + \frac{G_p - A_p}{f} f \bar{\omega}(t_s)] dt \\
&- \int_{t_0}^t \bar{\varepsilon}_p(t_s) \{ f \bar{\omega}(t_s) \} dt = E_p \int_{t_0}^t \bar{\varepsilon}_p(t_s) \{ A_p \{ \dot{\varepsilon}_{co}(t_s) + f \dot{\varepsilon}_{co}(t_s) \} - \frac{G_p}{f} \{ \omega(t_s) + f \bar{\omega}(t_s) \} \} dt \\
&+ E_p A_c \dot{\varepsilon}_{co}(t) + A_c \{ \dot{\varepsilon}_{co}(t) - f \bar{\omega}(t) \} E_p \dot{\varepsilon}_{co}(t) \int_{t_0}^t \bar{\varepsilon}_p(t_s) dt + A_c \int_{t_0}^t E_p \dot{\varepsilon}_{co}(t_s) dt
\end{aligned} \tag{14}$$

たとし  $A_c$ : 現場打ちスラブの断面積  $G_c$ : 現場打ちスラブの断面一次モーメント

$I_c$ : 現場打ちスラブの断面二次モーメント  $G_p$ : PC 柱の断面一次モーメント

$I_p$ : PC 柱の断面三次モーメント

式(14), (11)をたてて一回微分のうえ両辺に  $\dot{\varepsilon}_{co}(t)$  をかけ、両辺をさらに  $t$  で微分して整理すれば次式がえられる。

$$\begin{aligned}
&\{E_A g(f+a) + (E_p I_p + E_c I_c)/f\} \ddot{\omega}(t) + \{E_A \dot{g}(f+a) \dot{\varepsilon}_{co}(t) + (E_p \dot{I}_p + f E_c I_c)/f\} \dot{\omega}(t) + E_c I_c \{ \dot{\varepsilon}_{co}(t) - \ddot{\varepsilon}_c(t) \} C_p^{-1} / f [\{ \dot{\omega}(t) - f \dot{\varepsilon}_{co}(t) \} E_p \dot{\varepsilon}_{co}(t)] \\
&+ \int_{t_0}^t \dot{\varepsilon}_p(t_s) \{ \dot{\omega}(t_s) - f \dot{\varepsilon}_{co}(t_s) \} dt = (E_A g f + E_p G_p) \ddot{\varepsilon}_{co}(t) + \{E_A \dot{g} \dot{\varepsilon}_p(t) + f E_p G_p\} \dot{\varepsilon}_{co}(t)
\end{aligned} \tag{12a}$$

$$\begin{aligned}
&\{E_A g(f+a) + E_p G_p\} \ddot{\omega}(t) + \{E_A \dot{g}(f+a) \dot{\varepsilon}_{co}(t) + f E_p G_p\} \dot{\omega}(t) = f(E_A g + E_p G_p + E_c A_c) \ddot{\varepsilon}_{co}(t) + f \{E_A \dot{g} \dot{\varepsilon}_{co}(t) + f E_p \dot{I}_p + f E_c I_c\} \dot{\varepsilon}_{co}(t) \\
&+ E_c A_c \dot{\varepsilon}_{co}(t) \{ \dot{\varepsilon}_{co}(t) - f \dot{\varepsilon}_{co}(t) \} E_c \dot{\varepsilon}_{co}(t) + \int_{t_0}^t \dot{\varepsilon}_p(t_s) \{ \dot{\varepsilon}_{co}(t_s) + f \dot{\varepsilon}_{co}(t_s) \} dt
\end{aligned} \tag{12b}$$

#### 4. 微分方程式の解法

いま、アレキヤスト PC 柱と現場打ちスラブに同一のコンクリートを使用するものとし、 $\dot{\varepsilon}_p(t) = \dot{\varepsilon}_{co}(t)$  とおけば、式(12a), (12b) より  $\omega(t)$  および  $\dot{\varepsilon}_{co}(t)$  に関する 2 階の連立微分方程式がえられる。式(11)および式(12)から  $\ddot{\varepsilon}_{co}(t)$  および  $\dot{\varepsilon}_{co}(t)$  を消去しつつ

$$\ddot{\omega}(t) + f \dot{\omega}(t) = g(t) \tag{13}$$

の置換を行えば、次の  $g(t)$  に関する微分方程式がえられる。

$$\dot{g}(t) + A(t)g(t) = 0 \tag{14}$$

$$\therefore A(t) = \dot{\varepsilon}_p(t) - \dot{\varepsilon}_{co}(t) / \dot{\varepsilon}_{co}(t) - f E_p \dot{\varepsilon}_{co}(t)$$

$$A = \{L - R(1+a)(1+c)\} / [Pn \sqrt{(2+d)} - R(1+c)(1+d)] + \{L - R(1+a)(1+c)\}^2$$

$$R = (\dot{\varepsilon}_p/f)^2, \quad \dot{\varepsilon}_p^2 = I_p/A_p, \quad a = A_c/A_p, \quad L = (G_p/f A_p)^2, \quad d = a/f$$

式(14)を解いて

$$g(t) = g(t_0) C_p^{t-t_0} \tag{15}$$

$g(t)$  が求められれば式(13)を解いて、 $\omega(t)$  が次式で与えられる。

$$\omega(t) = \omega(t_0) + \int_{t_0}^{t-t_0} C_p \{ \dot{\omega}(t_s) + g(t_s) C_p^{t-t_s} \} dt \tag{16}$$

式(16)を式(12a)代入し  $\dot{\varepsilon}_{co}(t) + f \dot{\varepsilon}_{co}(t) = h(t)$  と置くことにより容易に  $\dot{\varepsilon}_{co}(t)$  がえられ、結果の示せば次式のようである。

$$\dot{\varepsilon}_{co}(t) = \dot{\varepsilon}_{co}(t_0) + \int_{t_0}^{t-t_0} \{ \dot{\varepsilon}_{co}(t_s) + \int_{t_0}^t h(t_s) C_p^{t-t_s} \} dt \tag{17}$$

式(16)を式(8a)代入し与えられた境界条件の下で解けば PC 鋼材の軸方向力と載荷荷重に起因する PC 合成柱の任意点の大わたり時間  $t$  ( $\leq t_0$ ) の関数として与えられ、同様に式(9)を式(8a)代入すれば任意時刻における PC 合成柱の軸方向ひずみが求められる。さだてこれら兩式および式(5)を式(9), (4)に

それを代入して整理すれば、任意時刻における PC 鋼材の引張力、PC 柄および現場打ちスラブの応力が次式で与えられる。

$$P(t) = P(0) \left[ 1 - \frac{1}{\delta K} \left[ \delta \varphi(t) E_p \left\{ J_2 - \frac{M(X) J_1}{P(t)} \right\} - \frac{J_3}{P(t)} \int_{t_0}^{t_2} \bar{P}(t) \frac{\partial^2}{\partial t^2} [t \varphi(t) E_p C] dt \right] \right] \left[ 1 - \frac{t-t-t_0}{K} \right] + \frac{\delta E_p J_2 L_2}{K} \left\{ \frac{C}{J_4} \right\} \frac{t-t-t_0}{\delta A_1} \frac{t-m_{G,C}(t-t_0)}{\delta A_1} \int_{t_0}^{t_2} \frac{C}{J_4} \frac{t-t-t_0}{\delta A_1} dt \quad (18)$$

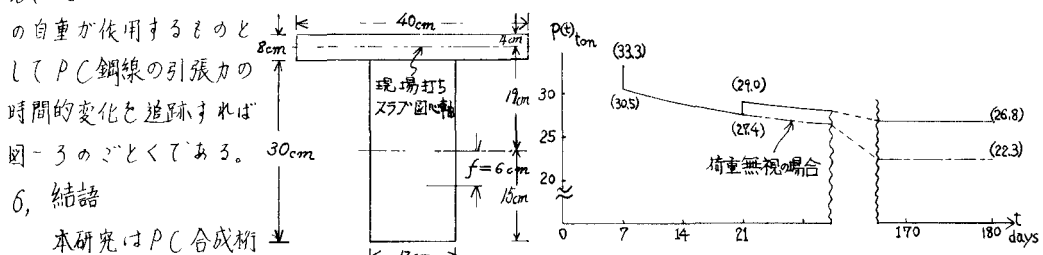
$$\begin{aligned} \tilde{J}_p(t) &= -P(t) \left\{ I_p + I_c - f G_p + 8 \left\{ f(A_p + A_c) - G_p \right\} / J_4 + M(X) \left\{ 8(A_p + A_c) - (A_p + A_c) \right\} / J_4 + E_p \left\{ 8(A_p + A_c) - 8f G_p A_p \bar{E}_{co}(t) \right\} / J_4 - \delta \varphi(t) E_p \bar{E}_{co}(t) \right\} / J_4 \\ &+ \frac{1}{2} \left[ A_1 A_C (I_p + I_c) + G_p I_c - 8 \left\{ I_c (A_p + A_c) + A_1 G_p A_c \right\} \right] \bar{E}(t) - \delta \varphi(t) E_p \bar{E}_{co}(t) - \left\{ 8(A_p + A_c) (I_p + I_c) - G_p \right\} \left\{ \frac{1}{J_4} + \frac{f(t-t_0)}{4 \cdot \delta A_1} \right\} - \left\{ I_p + I_c \right\} \\ &- G_p (f + a) + 8 \left\{ (f + a)(A_p + A_c) - G_p \right\} \left[ \int_{t_0}^{t_2} \bar{P}(t) \frac{\partial^2}{\partial t^2} [t \varphi(t) E_p C] dt \right] \right\} / J_4 \quad (19) \end{aligned}$$

$$\begin{aligned} \tilde{J}_c(t) &= -P(t) \left\{ I_p + I_c - f G_p + 8 \left\{ f(A_p + A_c) - G_p \right\} / J_4 + M(X) \left\{ 8(A_p + A_c) - G_p \right\} / J_4 + E_p \left\{ 8G_p^2 - A_p (I_p + I_c) - 8f G_p A_p \bar{E}_{co}(t) \right\} / J_4 - \delta \varphi(t) E_p \bar{E}_{co}(t) \right\} / J_4 \\ &+ \frac{1}{2} \left[ A_1 \left\{ G_p^2 - A_p (I_p + I_c) + G_p I_c - 8 \left\{ G_p^2 - I_p (A_p + A_c) + A_1 G_p A_c \right\} \right\} \bar{E}(t) \right] / J_4 + \left[ I_p + I_c - G_p (f + a) + 8 \left\{ (f + a)(A_p + A_c) - G_p \right\} \right] \\ &\left[ \int_{t_0}^{t_2} \bar{P}(t) \frac{\partial^2}{\partial t^2} [t \varphi(t) E_p C] dt \right] / J_4 \quad (20) \end{aligned}$$

$$\begin{aligned} \text{ここで } J_0 &= \{ (I_p + I_c)(A_p + A_c) - G_p^2 \}, \quad J_1 = \{ f + a \} (A_p + A_c) - G_p \}, \quad J_2 = \{ f(f + a)(A_p + A_c) + I_p + I_c - (2f + a)G_p \} \\ J_3 &= \{ (f + a)^2 (A_p + A_c) + I_p + I_c - 2(f + a)G_p \}, \quad J_4 = (A_p + A_c)(I_p + I_c) - G_p^2, \quad K = (E_0 J_0 + E_0 G_p J_2) / (E_0 J_3), \quad m = \gamma E_p (f + a) \end{aligned}$$

## 5. 計算例

図-2のごときT形断面をもつスパン9m単純支持PC合成柄を考える。PC鋼線は鋼線群の重心に集中するものとして取り扱い、そのヤング係数を  $E_s = 2.0 \times 10^6 \text{ kN/cm}^2$  とする。またコンクリート断面の諸係数はPC鋼線断面積を無視して計算し、その弾性係数を  $E_c = 2.5 \times 10^5 \text{ kN/cm}^2$  とする。式(3)のクリープ関数を決定する任意定数は文献(1)より求めた  $\alpha = 0.0304$ ,  $A_1 = 2.94 \times 10^{-4}$ ,  $C_1 = 0.508 \times 10^{-4}$  を採用する。コンクリートの材令が  $t_0 = 7$  日においてプレテンショニング方式により鋼線に  $P(0) = 33.3 \text{ ton}$  の引張力を与え、次いで  $t_2 = 21$  日においてコンクリートスラブを現場打ちするものとする。時刻  $t_2$  以降は  $\gamma = 160 \text{ kN/m}$  の自重が作用するものと



## 6. 結語

本研究はPC合成柄

についてプレキャストPC

図-2

図-3; スパン中央におけるPC鋼材引張力の時間的変化

柄の初期導入プレストレス、スラブ打ち後の自重および荷重による応力のクリープを全て考慮した微分方程式を説明し、その厳密なクリープ挙動を明らかにせんとしたものである。本論の基本式となる式(12)の微分方程式は、その解を解析的に求めることが困難で一般には差分法等の近似解法を採用せねばならないが、ここに取り扱ったごとくプレキャストPC柄および現場打ちスラブのコンクリートが同一材料からなる場合にはPC合成柄のクリープ挙動を解析的に追跡することが可能となる。

## [参考文献]

- (1) 山崎秀坂羽根: PC柄のクリープに関する研究. 第23回土木学会年次学術講演会概要. 昭和43年10月
- (2) 山崎秀坂羽根: PC柄のクリープ挙動について. 昭和43年度土木学会西部支部研究発表会論文集. 昭和44年2月